

## 钛酸钠纤维表面自组织生长 $\text{SnO}_2$ 纳米晶体

韦志仁\* 张利明 周洋 董国义

(河北大学物理科学与技术学院, 保定 071002)

关键词: 水热法; 纳米晶体; 钛酸钠; 二氧化锡

中图分类号: O614.43<sup>+2</sup> 文献标识码: A 文章编号: 1001-4861(2009)01-0180-04

### Self-Assembly Growth of $\text{SnO}_2$ Nano-Crystals on Surface of Sodium Titanate Crystal Fibers

WEI Zhi-Ren\* ZHANG Li-Ming ZHOU Yang DONG Guo-Yi

(Physics Science and Technology College, Hebei University, Baoding, Hebei 071002)

**Abstract:** The rutile  $\text{SnO}_2$  nano-crystals adsorbed on the surface of sodium titanate crystal fibers were synthesized by hydrothermal method, using  $\text{SnCl}_4 \cdot \text{H}_2\text{O}$  as the precursor by adding titanate crystal fibers and with the pH value of 11, reacting temperature of 180 °C, reaction time of 24 h, and filling factor of 68%. The  $\text{SnO}_2$  nanocrystals are about 50 nm long and 30~40 nm wide, and many nano-crystals grow with the same orientation in the sodium titanate surface. The characterization results indicate that the belt-like sodium titanate crystal fibers show a strong surface adsorption in strong alkali condition.

**Key words:** hydrothermal; nano-crystals; sodium titanate;  $\text{SnO}_2$

$\text{SnO}_2$  是重要的宽禁带半导体材料之一, 禁带宽度为 3.6 eV, 在透明导电膜、气敏传感器、光催化、太阳能转换等有广泛的应用。纳米尺度  $\text{SnO}_2$  材料存在许多优异的物理化学性能, 受到特别的关注。合成  $\text{SnO}_2$  纳米材料的方法有气相法、溶胶凝胶法、液相沉淀法、固相法、水热法等, 其中水热法是在高压釜里的高温、高压反应环境中, 采用水作为反应介质的结晶过程。水热法可直接合成纳米晶体, 避免了焙烧等热处理过程中晶体生长和团聚现象, 所制备的粉体尺度均匀, 晶化程度高, 形态完整。关于水热法合成  $\text{SnO}_2$  纳米粉体已有了很多的报道<sup>[1-9]</sup>, 通过改变反应溶液条件, 可以合成出小于 10 nm 或超过 100 nm 的棒状晶体<sup>[10,11]</sup>。在以往的文献报道中, 大多只是描述单一金红石相  $\text{SnO}_2$  的生长条件和过程, 没有涉及

其在异质界面的晶体生长, 特别是自组织生长。

水热法合成纳米结构的钛酸钠是最近几年又一热门话题。自 1998 年水热法制备出纳米管以来, 其管状和纤维状结构均受到极大的关注<sup>[12,13]</sup>, 钛酸钠同样具有宽禁带半导体性质<sup>[14-17]</sup>。管状钛酸盐和纤维状钛酸盐晶体的结构具有同源性, 基本由 Ti-O 键构成的网络面叠加而成。以 10 mol·L<sup>-1</sup> NaOH 作矿化剂, 水热处理  $\text{TiO}_2$  粉体, 当温度不小于 170 °C 时, 可以合成出钛酸钠纤维; 如果温度小于 170 °C, 则合成出钛酸钠纳米管。由于二者特有的层状结构, 人们对其制备条件、结构及各种性能产生了极大的兴趣, 通过化学含量和结构分析, 基本确定其化学成分为  $\text{Na}_{x}\text{H}_{2-x}\text{Ti}_n\text{O}_{2n+1} \cdot x\text{H}_2\text{O}$ 。钛酸盐的层状结构具有明显的尺寸量子效应, 结合管壁介孔多、介孔小的特点, 使

收稿日期: 2008-08-25。收修改稿日期: 2008-10-24。

国家自然科学基金(No.50472037, No.50672020, No.50772027); 河北省自然科学基金(No.E2006001008, E2007000197)资助项目。

\*通讯联系人。E-mail: weizhiren-1@163.com; Tel: 0312-5079718

第一作者: 韦志仁, 46岁, 研究员, 研究方向: 半导体发光材料与器件。

其具有极高的离子交换、传输和吸附能力,有希望在太阳能电池<sup>[18]</sup>、催化<sup>[19]</sup>、储氢材料<sup>[20]</sup>、高容量电池<sup>[21,22]</sup>等领域获得应用。

利用钛酸盐还可以合成出新型纳米结构的  $\text{TiO}_2$  晶体,如在弱酸性溶液中二次水热处理钛酸钠纤维,可以合成出锐钛相纳米聚晶的纤维状晶体<sup>[23,24]</sup>。或者将纳米钛酸钠纤维在酸性溶液中浸泡,由  $\text{H}^+$  离子置换出  $\text{Na}^+$  离子形成钛酸纤维,再通过二次退火处理,可转化成  $\text{TiO}_2\text{-B}$  纤维状晶体<sup>[25]</sup>。文献<sup>[26]</sup>以酸处理的钛酸钠(钛酸)为前驱物,二次水热处理,获得长叶片状纳米晶体,长 200~300 nm,宽度 20~30 nm。如果采用合适的反应条件,所得到的锐钛相  $\text{TiO}_2$  晶体长度可达到几微米。钛酸盐层状结构使其表面具有很高的化学活性,可利用纤维的模版作用,合成异质结构的新型材料。纳米自组织是目前材料研究的重要课题之一,本工作利用钛酸钠纳米纤维表面的高化学活性,在纤维上自组织生长了纳米  $\text{SnO}_2$  晶体。

## 1 实验部分

将 2 g 分析纯金红石相  $\text{TiO}_2$  放入聚四氟乙烯内衬的反应釜(容积为 25 mL) 中,加入 10 mol·L<sup>-1</sup> NaOH 作矿化剂(所用试剂均来自北京化学试剂公司,为分析纯),填充度 68%,反应温度为 180 °C,反应时间 24 h。将所得产物用去离子水反复清洗至中性,红外灯下烤干,制备出样品 1。

在纯水中加入适量的 NaOH,调节溶液的 pH 值为 11,取 2 g  $\text{SnCl}_4\cdot 5\text{H}_2\text{O}$  加入到配制好的碱性溶液中,混合均匀后的溶液放于聚四氟乙烯内衬反应釜内,填充度为 68%,密封加热至 180 °C,恒温保持 24 h。然后关掉电源,自然冷却至室温后,打开釜取出生成物,制备出样品 2。

另取上述所得产物 1(钛酸钠纤维)100 mg 与 92 mg 的  $\text{SnCl}_4\cdot 5\text{H}_2\text{O}$  混合加入到另一份配制好的碱性(pH=11)溶液中;采取同样的水热处理,获得样品 3。

采用 XRD 测量(RIGAKU, D/max $\times$ 2400),透射电镜图(TEM, JEM-100SX 日本),高分辨透射电镜(HTEM)、能量色散 X 射线荧光光谱(EDX)(Tecnai F30)进行表征。

## 2 结果与讨论

图 1 是以金红石相  $\text{TiO}_2$  为前驱物,加入 10 mol·L<sup>-1</sup> NaOH 作矿化剂合成钛酸钠纤维(样品 1)的透射电镜(TEM)图,晶体形貌为带状纤维结构。

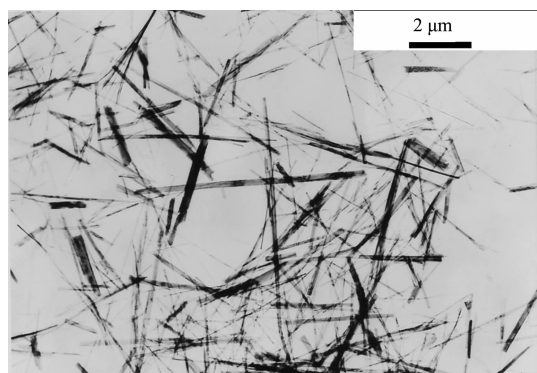


图 1 钛酸钠的 TEM 图  
Fig.1 TEM image of sodium titanate

以  $\text{SnCl}_4\cdot 5\text{H}_2\text{O}$  为前驱物水热合成产物(样品 2)的 TEM、XRD 图如图 2、图 3A,为纯金红石相  $\text{SnO}_2$ 。钛酸钠纤维与  $\text{SnCl}_4\cdot 5\text{H}_2\text{O}$  混合作前驱物,水热合成材料(样品 3)的 XRD 图示于图 3B,得到的晶体为钛

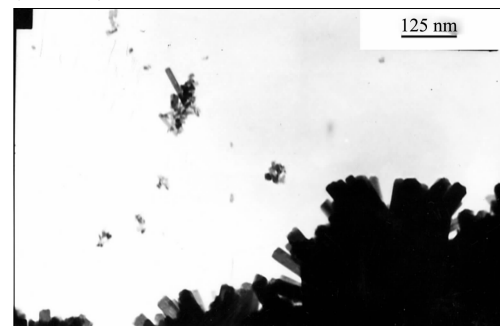
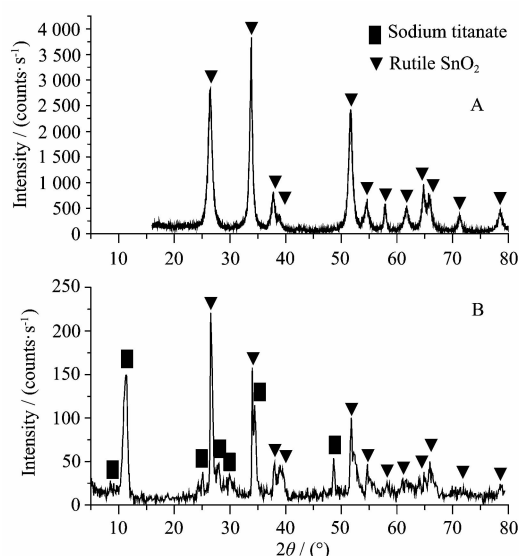


图 2 水热合成  $\text{SnO}_2$  的 TEM 图  
Fig.2 TEM image of  $\text{SnO}_2$  synthesized by hydrothermal method



A:  $\text{SnCl}_4\cdot 5\text{H}_2\text{O}$  as precursor;  
B:  $\text{SnCl}_4\cdot 5\text{H}_2\text{O}$  and sodium titanate fiber as precursor  
图 3 水热合成  $\text{SnO}_2$  和钛酸钠与  $\text{SnO}_2$  的 XRD 图  
Fig.3 XRD patterns of  $\text{SnO}_2$  and sodium titanate with  $\text{SnO}_2$

酸钠纤维和金红石相  $\text{SnO}_2$  混合物，且  $\text{SnO}_2$  的衍射峰峰值较强。

以  $\text{SnCl}_4 \cdot 5\text{H}_2\text{O}$  为前驱物，水热合成如图 2 所示的  $\text{SnO}_2$  纳米棒状晶体。长度约为 200 nm，直径约为 20 nm，呈一维方向生长。

$\text{SnCl}_4 \cdot 5\text{H}_2\text{O}$  混合作为前驱物加入钛酸钠纤维时，水热合成产物的 TEM 如图 4 所示，在较低放大倍数下(图 4A、B)，可看到表面附有晶体颗粒的带状纤维，纤维的长度和形貌和添加的钛酸钠相近。在高

放大倍数下(图 4C)可看到其中的带状纤维表面生长了大量的较为规律排列的微小晶粒，晶体为短棒状，长度为 50 nm，宽度为 30~40 nm。图 4D 是钛酸钠纤维的高分辨 TEM，显示层状结构的间距 1.07 nm，和文献<sup>[27]</sup>结果相近。图 4E、F 为合成晶体中纤维表面吸附的短柱状晶体的高分辨透射电镜(HRTEM)图，晶体的{110}晶面间距为 0.335 nm，与金红石相  $\text{SnO}_2$  纳米晶体(110)面的晶面间距 0.335 nm 一致，可以断定该短棒状晶体为金红石相  $\text{SnO}_2$ 。

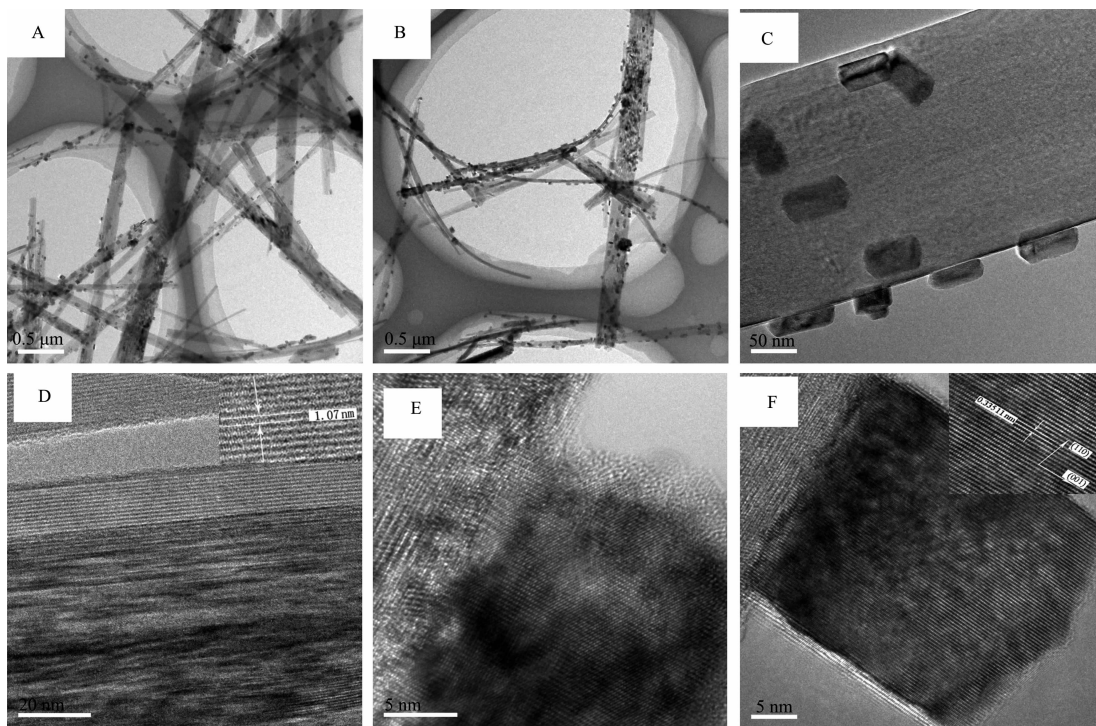


图 4 水热处理钛酸钠纤维与  $\text{SnCl}_4 \cdot 5\text{H}_2\text{O}$  混合物所得产物的 TEM 和 HRTEM 图

Fig.4 TEM and HRTEM photos of products obtained through hydrothermal treatment of sodium titanate and  $\text{SnCl}_4 \cdot 5\text{H}_2\text{O}$

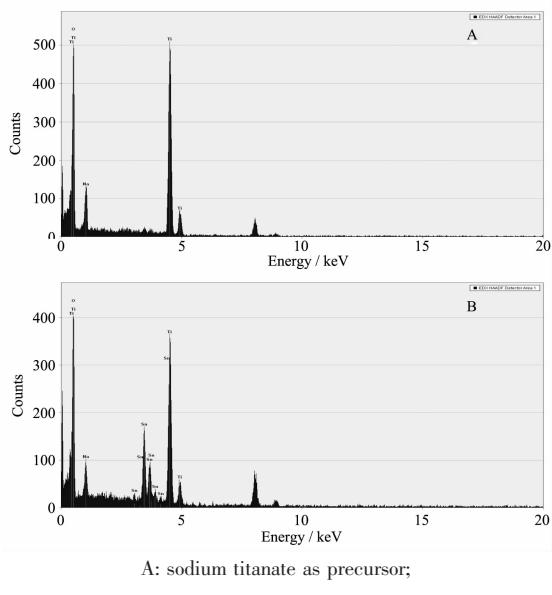
为了进一步研究带状纤维以及纤维表面吸附的短棒状晶体的成分，我们测量样品的能量色散 X 荧光光谱(EDX)，结果如图 5A、5B 所示，其中图 5A 为带状钛酸钠纤维的 EDX 谱，其中只有钠元素、钛元素和氧元素。图 5B 为钛酸钠纤维与  $\text{SnCl}_4 \cdot 5\text{H}_2\text{O}$  混合溶液水热反应产物的 EDX 谱，短棒状晶体与带状纤维的 EDX 谱中除了钠元素、钛元素和氧元素之外，还出现了锡元素，证实产物中有钛酸钠纤维和金红石相  $\text{SnO}_2$  两种成分。

当水热环境为碱性时，钛酸钠纤维具有很好的稳定性，没有发生结构和形貌的改变。在同样的反应条件下， $\text{SnCl}_4 \cdot 5\text{H}_2\text{O}$  水解晶化生成金红石相纳米  $\text{SnO}_2$ ，如果溶液中存在钛酸钠纤维，几乎全部  $\text{SnO}_2$

晶体均生长在钛酸钠纤维上，和图 3 纯金红石相  $\text{SnO}_2$  相比，晶体形貌也有很大的改变，晶体较短，大小形貌更加一致，并且具有一定的定向排列趋势。

$\text{SnO}_2$  能够在钛酸钠纤维表面定向生长的原因有两项，第一、钛酸钠纤维具有较强的表面化学活性，在水热条件下，钛酸钠纤维表面的  $\text{Na}^+$  健处于不稳定状态，能溶于水溶液，表面 Ti-O 键活性较强，成为  $\text{SnO}_2$  的晶化成核的附着面，并结合形成复合异质结构。第二是两种晶体界面有相近的晶面间距，钛酸钠{110}晶面组为 0.36 nm<sup>[27]</sup>， $\text{SnO}_2$  金红石相{110}晶面组间距为 0.335 nm， $\text{SnO}_2$  借助纳米纤维晶化成核，形成有序的排列。

相比于样品 2，样品 3 中的  $\text{SnO}_2$  晶体形貌更为

图5 水热合成钛酸钠与 SnO<sub>2</sub> 的 EDX 图Fig.5 EDX spectra of sodium titanate with SnO<sub>2</sub> synthesized by hydrothermal method

规则,可能是由于溶液中存在少量 Ti<sup>4+</sup>,对晶体生长产生的约束作用。

水热二次处理钛酸钠纤维,可以合成纳米 TiO<sub>2</sub>聚晶,其原因也是因为纤维表面较强的化学活性,提供了晶体生长的界面<sup>[23,24]</sup>,这和本文结论具有相关性。

### 3 结 论

以钛酸钠纤维和 SnCl<sub>4</sub>·5H<sub>2</sub>O 混合为前驱物,在 pH 值为 11 的溶液中,温度为 180 ℃,反应 24 h,水热处理后,钛酸钠纤维基本保持了原有的形貌和结构,并在表面上生长了大量定向排列的 SnO<sub>2</sub> 纳米晶。说明在该水热条件下,钛酸钠纤维具有较高的化学稳定性和表面活性,能够成为 SnO<sub>2</sub> 纳米晶自组织生长的界面。

### 参考文献:

- [1] ZHANG Jian-Rong(张建荣), GAO Lian(高濂). *J. Inorg. Mater.(Wuji Cailiao Xuebao)*, **2004**,**19**(5):1177~1180
- [2] ZHANG Jian-Rong(张建荣), GAO Lian(高濂). *Acta Chim. Sinica(Huaxue Xuebao)*, **2003**,**61**(12):1965~1968
- [3] ZHU Gui-Sheng(朱归胜), XU Hua-Rui(徐华蕊), LIAO Chun-Tu(廖春图). *J. Inorg. Mater.(Wuji Cailiao Xuebao)*, **2005**,**20**(2):479~483
- [4] SHI Juan(石娟), WU Shi-Hua(吴世华), WANG Shi-Rong(王淑荣). *Chinese J. Inorg. Chem.(Wuji Huaxue Xuebao)*, **2004**,**20**(2):199~201
- [5] Fujihara S, Maeda T, Ohgi H, et al. *Langmuir*, **2004**,**20**(15):6476~6481
- [6] Xu G, Zhang Y W, Sun X, et al. *J. Phys. Chem. B*, **2005**,**109**(8):3269~3278
- [7] Wang Y L, Jiang X C, Xia Y N. *J. Am. Chem. Soc.*, **2003**,**125**(52): 16176~16177
- [8] Cheng B, Russell J M, Shi W S, et al. *J. Am. Chem. Soc. (Communication)*, **2004**,**126**(19):5972~5973
- [9] Zhang D F, Sun L D, Yin J L, et al. *Adv. Mater.*, **2003**,**15**(12):1022~1025
- [10] WEI Zhi-Ren(韦志仁), LI Jun(李军), LIU Chao(刘超), et al. *J. Synth. Cryst.(Rengong Jingti Xuebao)*, **2006**,**35**(1):107~109
- [11] ZHANG Zi-Sheng(张子生), ZHANG Xiao-Jun(张晓军), WANG Wei-Wei(王伟伟), et al. *J. Synth. Cryst.(Rengong Jingti Xuebao)*, **2006**,**35**(4):736~738
- [12] Bavykin D V, Friedrich J M, Walsh F C. *Adv. Mater.*, **2006**,**18**(21):2807~2824
- [13] Lan Y, Gao X P, Zhu H Y, et al. *Adv. Funct. Mater.* **2005**,**15**(8):1310~1318
- [14] Bavykin D V, Gordeev S N, Moskalenko A V, et al. *J. Phys. Chem. B*, **2005**,**109**:8565~8569
- [15] Sakai N, Fukuda K, Shibata T, et al. *J. Phys. Chem. B*, **2006**,**110**(12):6198~6203
- [16] Sakai N, Ebina Y, Takada K, et al. *J. Am. Chem. Soc.*, **2004**,**126**(18):5851~5858
- [17] Kasuga T, Hiramatsu M, Hoson A, et al. *Langmuir*, **1998**,**14**(12):3160~3163
- [18] Ohsaki Y, Masaki N, Kitamura T, et al. *Phys. Chem. Chem. Phys.*, **2005**,**7**:4157~4163
- [19] XU Hui(徐惠), WANG Yi(王毅), ZHAI Jun(翟钧), et al. *Environ. Pollut. Control(Huanjing Wuran Yu Fangzhi)*, **2006**,**28**(2):81~83
- [20] Bavykin D V, Lapkin A A, Plucinski P K, et al. *J. Phys. Chem. B*, **2005**,**109**(41):19422~19427
- [21] Varghese O K, Gong D, Paulose M, et al. *Sens. Actuators B*, **2003**,**93**(1~3):338~344
- [22] Wang Y G, Zhang X G. *Electrochim. Acta*, **2004**,**49**:1957~1962
- [23] Mao Y, Kanungo M, Hemraj-Benny T, et al. *J. Phys. Chem. B*, **2006**,**110**(2):702~710
- [24] Mao Y, Wong S S. *J. Am. Chem. Soc.*, **2006**,**128**(25):8217~8226
- [25] Armstrong A R, Armstrong G, Canales J, et al. *Angew. Chem. Int. Ed.*, **2004**,**43**(17):2286~2288
- [26] Nian J N, Teng H S. *J. Phys. Chem. B*, **2006**,**110**(9):4193~4198
- [27] ZHANG Yue(张月), CHEN Qing(陈清), GONG Wei-Wei(龚巍巍), et al. *Acta Sci. Nat. Univ. Pekinensis(Beijing Daxue Xuebao(Ziran Kexue Ban))*, **2007**,**43**(1):125~131